



# 聚四氟乙烯纤维/聚酰亚胺低介电常数复合膜的制备及其性能分析

史帅达,傅雅琴

(浙江理工大学材料科学与工程学院,杭州 310018)

**摘要:**为了降低聚酰亚胺(PI)的介电常数和介电损耗,以加捻聚四氟乙烯(PTFE)纤维为中间层,PI 膜为底层和表面层,制备 PI/PTFE 纤维/PI 复合膜,并对复合膜的结构形貌、介电性能、击穿强度、力学性能和热性能进行系统分析。结果表明:复合膜保留了 PTFE 纤维的化学结构和高结晶度,并呈现出内含孔隙的 PI/PTFE 纤维/PI 三明治结构;在制备复合膜时利用加捻 PTFE 纤维的低介电常数和低介电损耗的特性,同时在复合膜中引入空气,可使制备所得复合膜具有较低的介电常数和介电损耗;在电场频率为 10 GHz 时,复合膜的介电常数达到 1.51,介电损耗达到 0.001;复合膜的击穿强度为 93.8 kV/mm,较 PI 膜有所降低;复合膜纵向拉伸强度可达 118.9 MPa,失重 5% 的温度高达 534 °C,表现出良好的力学和热学性能。该研究可为研发高频电场下具有低介电性能的 PI 提供新的方法和实验参考。

**关键词:**三明治结构;聚四氟乙烯纤维;聚酰亚胺;低介电常数;复合膜

中图分类号: TB383.2

文献标志码: A

文章编号: 1673-3851 (2025) 03-0139-07

**引文格式:**史帅达,傅雅琴.聚四氟乙烯纤维/聚酰亚胺低介电常数复合膜的制备及其性能分析[J].浙江理工大学学报(自然科学),2025,53(2):139-145.

**Reference Format:** SHI Shuaida, FU Yaqin. Preparation of a PTFE fiber/polyimide composite film with low dielectric constant and analysis of its properties[J]. Journal of Zhejiang Sci-Tech University, 2025, 53(2): 139-145.

## Preparation of a PTFE fiber/polyimide composite film with low dielectric constant and analysis of its properties

SHI Shuaida, FU Yaqin

(School of Materials Science & Engineering, Zhejiang Sci-Tech University, Hangzhou 310018, China)

**Abstract:** To reduce the dielectric constant and dielectric loss of polyimide (PI), a PI/PTFE fiber/PI composite film was prepared by using twisted PTFE fiber as the middle layer and PI film as the bottom and surface layers. The structure and morphology, dielectric properties, breakdown strength, mechanical properties and thermal properties of the composite film were systematically analyzed. The results showed that the composite film retained the chemical structure and high crystallinity of PTFE fibers, and presented the PI/PTFE fiber/PI sandwich structure containing pores; in the preparation of the composite film, the low dielectric constant and low dielectric loss properties of twisted PTFE fibers were utilized while air was introduced into the composite film, which made the composite film have a low dielectric constant and dielectric loss; when the electric field frequency was 10 GHz, the dielectric constant of the composite film reached 1.51 and the dielectric loss reached 0.001; the breakdown strength of the composite film was 93.8 kV/mm, lower than that of PI; its longitudinal tensile strength could reach 118.9 MPa, and the temperature of 5% weight loss was as high as 534 °C, showing good mechanical and thermal

properties. The study provides a new method and experimental reference for developing PI with low dielectric properties under a high frequency electric field.

**Key words:** sandwich structure; PTFE fiber; polyimide; low dielectric constant; composite film

## 0 引言

近年来,随着微电子工业、5G通信技术的高速发展,电子产品对高集成、耐高频、高速和高功率特性的要求越来越高<sup>[1-3]</sup>。层间介质材料较高的介电常数( $D_k$ )和介电损耗( $D_f$ )会导致串线干扰、信号传输滞后和传输功耗增加<sup>[4]</sup>,这使得制备高频工况下具有低介电性能的介质材料成为研究热点。聚酰亚胺(PI)是一种性能优异的绝缘介质材料,因具有出色的热稳定性、耐溶剂性、力学性能和介电性能,被广泛应用于微电子、通信等行业<sup>[5-7]</sup>。然而,常规PI膜介电常数较高( $D_k$ 在3.2左右),在高频工况下往往更高,这与高频电子设备绝缘层材料 $D_k < 3.0$ 的需求仍存在差距<sup>[8-9]</sup>。因此,研发出在高频下具有较低的介电常数、良好的热稳定性和机械性能的PI膜具有重要的社会价值和科学意义。

目前,有大量的文献报道了降低PI介电常数的改性方法<sup>[10-14]</sup>,如通过引入具有较大体积和空间位阻的刚性非平面共轭结构,可以有效降低PI链的堆积密度,从而制备低介电常数PI<sup>[15]</sup>。然而由于昂贵的成本和繁琐的工艺,目前还难以实现工业化量产。通过构造或引入多孔结构来引入空气( $D_k = 1$ ),可以有效降低PI的介电常数<sup>[16-17]</sup>,但这种结构对材料的拉伸强度有较大损失。通过将PI与低介电性能的聚合物混合,引入低偶极矩群降低材料的分子极化率,是降低介电常数和介电损耗最简单、经济的方法<sup>[18-21]</sup>。聚四氟乙烯(PTFE)是一种具有全“氟代”、高度对称分子链结构以及极低偶极矩的聚合物,其 $D_k$ 和 $D_f$ 分别为2.1和0.0003<sup>[22-23]</sup>。将PTFE与PI复合,有望降低PI的介电常数和介电损耗。然而,由于PTFE极低的表面能和化学惰性,PTFE粉末难以在PI溶液中均匀分散,在一定程度上影响了介电常数<sup>[24-25]</sup>。

以加捻PTFE纤维为填料对PI进行改性,一方面可以基于PTFE本身的低介电常数和低介电损耗的特性,降低复合膜在高频工况下的介电常数和介电损耗;另一方面,通过加捻结构可以将空气引入复合膜中,有望进一步降低复合膜的介电常数和介电损耗。由此,本文以加捻PTFE纤维为中间层,PI膜为底层和表面层,制备PI/PTFE纤维/PI复合

膜,并对复合膜的结构形貌、介电性能、击穿强度、力学性能和热性能进行分析,以期为研发高频电场下具有低介电性能的PI提供新的方法和实验参考。

## 1 实验部分

### 1.1 实验材料

聚酰胺酸溶液(PAA,型号:JNC5371,质量分数为20%,东莞市东霖高分子材料有限公司),双捻聚四氟乙烯纤维(PTFE,2根纤维加捻,单根纤维直径180 μm,捻度:420捻/m,无捻PTFE纤维,单根纤维直径200 μm,孝感市珈一纺织品有限责任公司)。

### 1.2 PI膜的制备

取5g的PAA溶液,放入真空装置中抽真空1 h以排除溶液中的气泡。首先将PAA溶液浇注于洁净的玻璃板上,然后利用手动刮膜机刮涂成膜,最后在马弗炉中进行阶梯热酰亚胺化,自然冷却至25 °C,即可得到PI膜。马弗炉升温程序为:80 °C下保温1 h、150 °C下保温1 h、220 °C下保温3 h,升温速率为1 °C/min。

### 1.3 三明治结构复合膜的制备

取5g的PAA溶液放入真空装置中抽真空1 h以排出溶液中的气泡。将PAA溶液浇注在干燥洁净的玻璃板上,利用刮膜机刮涂成膜,液膜厚约为350 μm,并在马弗炉内进行固化处理(分别设置80 °C 1 h、150 °C 1 h、220 °C 3 h三组参数,升温速率为1 °C/min),冷却至25 °C到底层PI膜;将双捻PTFE纤维整齐排列在底层PI膜上,排列密度控制在18根/cm;再将PAA溶液浇注PTFE纤维上,利用刮膜机刮涂成膜,液膜厚约400 μm,置于烘箱中在50 °C预固化处理2 h;后置于马弗炉内进行固化处理(分别设置80 °C 1 h、150 °C 1 h、220 °C 3 h三组参数,升温速率为1 °C/min),自然冷却至25 °C,得到三明治结构的PI/PTFE纤维/PI复合膜(简称TFPI复合膜)。将TFPI复合膜从玻璃板剥离,80 °C干燥2 h,得到PTFE纤维质量分数为50%的复合膜,总膜厚为550 μm。在其他制备条件不变的情况下,在预固化过程中使用真空烘箱,对PTFE/PI液膜做抽真空处理,制备得到复合膜并记为DTFPI复合膜,作为对照样品1。其他制备条件同TFPI复合膜,仅将双捻纤维换成无捻纤

维,制备得到无捻PTFE纤维质量分数为50%的复合膜,并记为SFPI复合膜,将其作为对照样品2。

## 1.4 测试与表征

### 1.4.1 TFPI复合膜结构表征

采用傅里叶红外光谱仪(FTIR, Thermo Electron Corp)对样品官能团结构进行表征分析,采用ATR法,测试范围:4000~500 cm<sup>-1</sup>。测试前,将样品在80 °C烘箱中烘干2 h,以避免水分对红外测试的影响。采用X射线衍射仪(XRD, D8 discover, Bruker)表征样品结晶结构,扫描范围为10°~70°,步进速度0.2(°)/s。

### 1.4.2 TFPI复合膜形貌观测

采用场发射扫描电镜(FE-SEM, 德国卡尔蔡司股份公司)观察薄膜的截面及微观形貌,由于PI和PTFE具有耐低温的特性难以用液氮脆断,故将样品用剪刀剪出平整的切口,喷金处理后观察,测试电压为3 kV,工作距离为8.5 mm。通过X射线三维显微镜(Xradia 610 Versa)观测样品的内部结构形貌,分辨率为2.8427 μm。

### 1.4.3 TFPI复合膜介电性能测试

采用矢量网络分析仪(E5071C, Agilent Technologies)测定样品的介电性能,测试前先将样品在烘箱中80 °C烘干2 h以去除水分,测试频率8.2~12.4 GHz,测试方法为波导法。

### 1.4.4 TFPI复合膜击穿强度测试

采用击穿电压测试仪(BDJC-50 kV, 北京北广精密仪器)测定样品的电击穿强度,测试样品的尺寸为7 cm(长)×4 cm(宽)。

### 1.4.5 TFPI复合膜力学性能测试

利用万能材料试验机(Instron-3367, Instron)

测试复合膜纵向的拉伸性能,拉伸试样规格为30 mm×6 mm×0.55 mm,拉伸速度为2 mm/min,有效样本容量为5。

### 1.4.6 TFPI复合膜的热稳定性测试

使用热重分析仪(TG 209, Netzsch)测试样品热稳定性,样品量为5~8 mg,测试温度30~1000 °C,40 mL/min的N<sub>2</sub>氛围,升温速率为10 °C/min。

## 2 结果与讨论

### 2.1 TFPI复合膜的结构分析

图1(a)为PI膜、PTFE纤维和TFPI复合膜的红外光谱图。PI膜在1772、1708、1371 cm<sup>-1</sup>处所显示的吸收峰分别为C=O的对称伸缩振动峰、C=O不对称伸缩振动峰和C—N伸缩振动峰。PTFE纤维在1203 cm<sup>-1</sup>和1147 cm<sup>-1</sup>处出现CF<sub>2</sub>对称和不对称伸缩振动吸收峰<sup>[26]</sup>。在TFPI复合膜中可以观察到上述特征峰,且峰的位置没有明显的变化。这表明复合后,对PI膜和PTFE纤维的化学结构基本没有影响。图1(b)为PI膜、PTFE纤维和TFPI复合膜的XRD图谱,从图中可以看出,PI膜在15°~20°观察到一个宽峰,没有明显的定型峰。PTFE纤维在2θ=18°、31.7°、36.8°、49.3°、56.4°分别对应的特征峰为(100)、(110)、(107)、(210)、(300)<sup>[27]</sup>, (100)衍射峰对应PTFE纤维高度结晶的结构。TFPI复合膜因添加了具有高结晶度的PTFE纤维,在2θ=18°也观察到了较强的衍射峰,衍射峰的位置较PTFE纤维没有明显变化。通过FTIR和XRD分析可知,经过溶液浇注法制备的三明治结构TFPI复合膜中,PTFE纤维的结晶结构未发生显著改变。

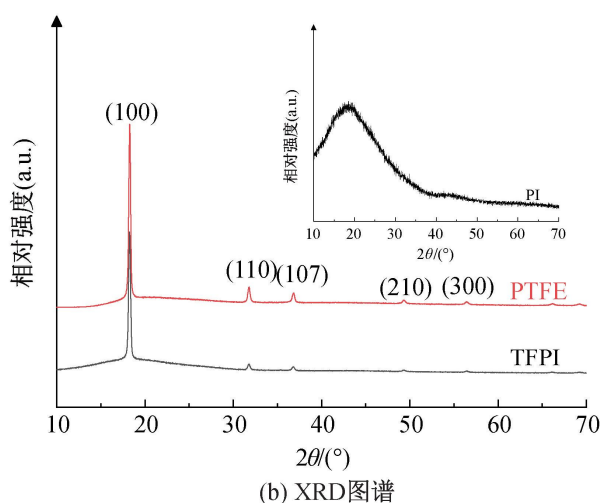
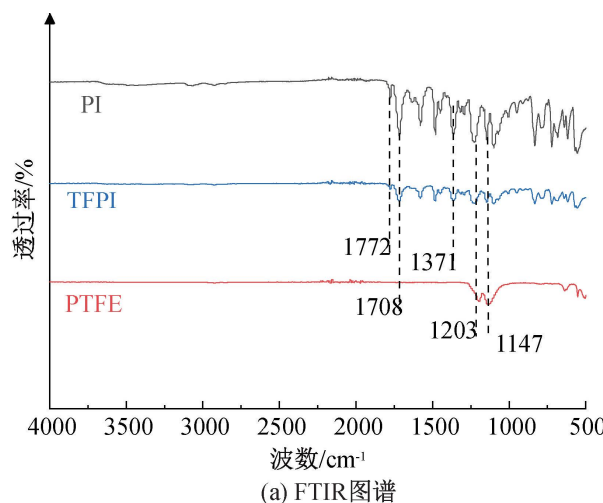


图1 PI膜、TFPI复合膜与PTFE纤维的FTIR图谱和XRD图谱

## 2.2 TFPI 复合膜形貌分析

图 2(a)是 PTFE 纤维 SEM 图像,从中可以观察 PTFE 纤维双加捻形貌。图 2(b)是 TFPI 复合膜的截面 SEM 图像,从中可以观察到 PI 膜将排列整齐的 PTFE 纤维包覆在夹层中,形成一种 PI/PTFE 纤维/PI 三明治结构的复合膜。为了进一步观测和分析 TFPI 复合膜夹层的内部结构和特征,

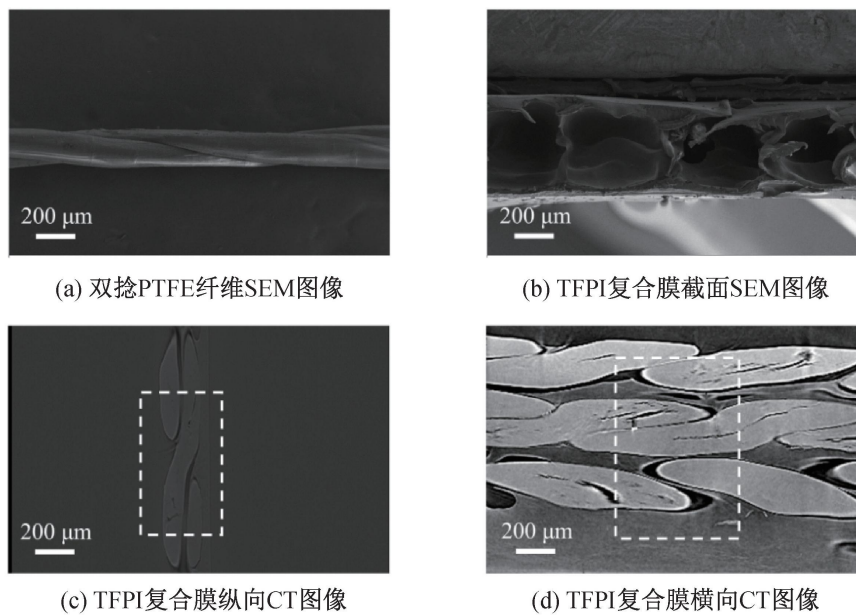


图 2 PTFE 纤维和 TFPI 复合膜的 SEM 图像和 CT 图像

## 2.3 TFPI 复合膜的介电性能分析

TFPI 复合膜在 8.2~12.4 GHz 的介电常数曲线如图 3(a)所示。在 8.2~12.4 GHz 频段,TFPI 复合膜的  $D_k$  为 1.49~1.56,  $D_f$  为 0.00006~0.011。在电场频率为 10 GHz 时,PI 膜的  $D_k$  为 3.45,TFPI 复合膜的  $D_k$  为 1.51。结果表明:溶液浇注制备的三明治结构 TFPI 复合膜在高频工况下具有超低介电常数,较商业化 PI 膜下降 56%。这主要归因于 PTFE 具备低介电常数的特性,同时 PTFE 纤维加捻结构中引入了空气(微观形貌如图 2 所示),因而降低了 PI 膜的介电常数。PTFE 是一种具有全“氟代”高度对称结构的低介电常数聚合物,其  $D_k$  约为 2.1。首先,当 PTFE 纤维作为填料被引入 PI 膜中时,氟原子原子核对核外电子的吸引力很强,电子与原子核的相互作用很大,电子云密度很高,在外加电场的刺激下氟原子的极化率很低,从而降低 TFPI 复合膜整体的分子极化率。其次,PTFE 纤维具有较大的表面积,会在一定程度上增加整个体系的自由体积,降低体系的酰亚胺化密度。此时,介电常数的降低可以用介电限制效应来解释<sup>[28]</sup>,即当 PTFE 纤维被引入 PI 基体中,形成了松散的 PI 和 PTFE 链形态,导致自由体积的增加,有效地降低了 TFPI 复合膜的介电常数。

对 TFPI 复合膜进行 X 射线三维扫描,结果如图 2(c)和图 2(d)所示。从图 2(c)和图 2(d)中可以观测,在加捻的 PTFE 纤维之间存在孔隙,造成这种现象的原因可能是 PAA 溶液在包覆 PTFE 纤维过程中,因加捻造成相邻 PTFE 纤维微小缝隙处的空气不易排出,从而造成固化后复合膜中孔隙的存在(图中虚线标示处)。

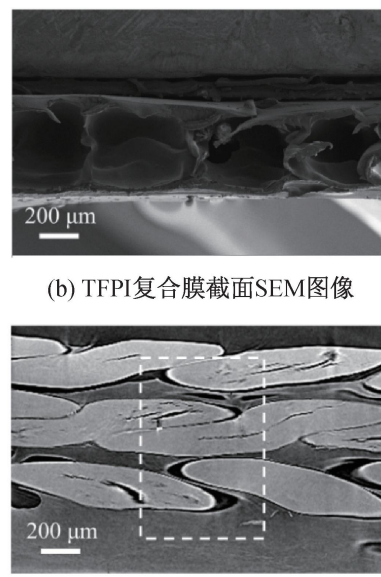
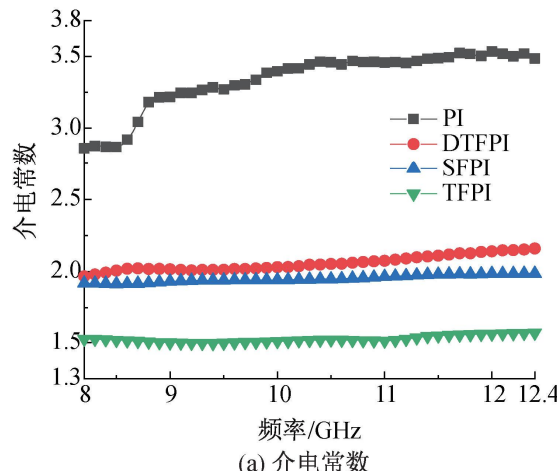


图 3 TFPI 复合膜的介电常数和介电损耗

为了分析引入空气对复合膜介电性能的影响,在浇注上层 PAA 溶液后对液膜抽真空处理,以最大限度排除双捻 PTFE 纤维缝隙处的空气,制备得到 DTFPI 复合膜,其在 10 GHz 时的  $D_k$  为 2.03(如图 3(a)所示),较商业化 PI 膜下降 41.1%。通过 TFPI 复合膜与 DTFPI 复合膜的对比,证明 TFPI 复合膜中存在一定量的空气( $D_k=1$ ),空气的存在有效地降低了复合膜的介电常数。为了明确 TFPI 复合膜中的空气由加捻 PTFE 纤维引入,在其他条件相同的情况下,以无捻 PTFE 纤维替代加捻 PTFE 纤维,制备得到 SFPI(对照样品 2),其在 10 GHz 时的  $D_k$  为 1.94(如图 3(a)所示)。从图 3(a)中可以看出,SFPI 与 DTFPI 复合膜在 10 GHz 时的介电常数基本类似。上述结果表明,加捻 PTFE 纤维的引入显著降低了 PI 膜的介电常数。

TFPI 复合膜的介电损耗如图 3(b)所示,TFPI 复合膜的介电损耗在 10 GHz 时为 0.001,相较于商业化 PI 膜( $D_f=0.013$ )大幅降低。TFPI 复合膜极低的介电损耗主要归因于 PTFE 极低的介电损耗特性,其源于 PTFE 聚合物主链的对称构象有效地中和了 CF 键的偶极力,产生零偶极矩,从而限制了极化行为的发生,复合膜的介电损耗大幅降低。然

而,PI分子链末端的羰基( $C=O$ )或羟基( $-OH$ )等极性官能团导致分子之间的偶极-偶极相互作用



(a) 介电常数

增强、电子云结构发生变化,导致分子内部的极化行为增加,进而影响复合膜的介电损耗<sup>[29]</sup>。

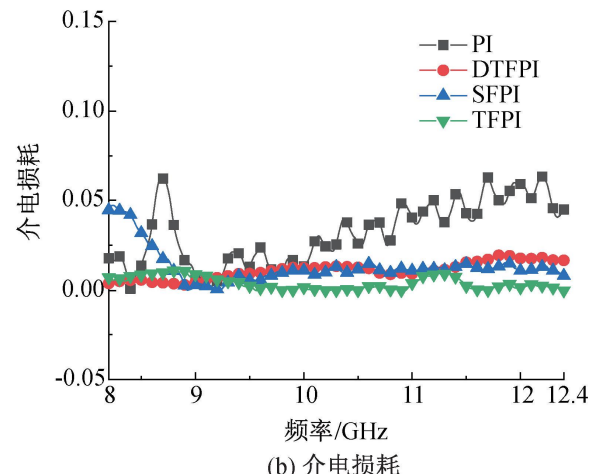


图3 PI膜与DTFTI、SFPI、TFPI复合膜的介电常数与介电损耗曲线

## 2.4 TFPI复合膜的击穿强度分析

TFPI复合膜的击穿强度如图4所示。TFPI复合膜的击穿强度(93.8 kV/mm)低于PI膜的击穿强度(157.8 kV/mm),其击穿强度的劣化可能是因为:复合膜内部存在的孔隙会增大材料的缺陷密度,电场在孔隙处的分布不均匀,当局部受到较大场强时,导致击穿的发生,从而降低了整体的击穿强度;另外,击穿往往沿较短的路径发生,PTFE纤维之间排列较为松散,且PI膜与PTFE纤维之间存在

空隙,这为电流提供了最短或最低电阻路径,故而导致击穿强度降低<sup>[30-31]</sup>。

## 2.5 TFPI复合膜的力学性能分析

图5为TFPI复合膜与PI膜拉伸强度与拉伸模量。PI膜的拉伸强度为97.2 MPa,TFPI复合膜的纵向拉伸强度为118.9 MPa。TFPI复合膜拉伸强度较PI膜略微升高,这主要是因为PTFE纤维的拉伸强度较高,复合膜的总体拉伸强度符合复合则。Li等<sup>[32]</sup>通过溶剂交换过程将湿的sPI薄膜转移到水浴中形成多孔sPI薄膜,其介电常数为2.0,拉伸强度仅为25 MPa。与之相比,TFPI复合膜在介电常数更低的优势下,具有更高的拉伸强度。另外,相比PI膜,TFPI复合膜的拉伸模量升高,说明TFPI复合膜在拉伸受力时不容易发生变形,表现出较高的模量。这是因为高模量的PTFE纤维在中间层起到骨架支撑的作用,PTFE纤维被固化后作为PI的增强相,从而使模量提高。综上所述,TFPI复合膜由于PTFE纤维的引入,使得拉伸强度和拉伸模量有所提高。

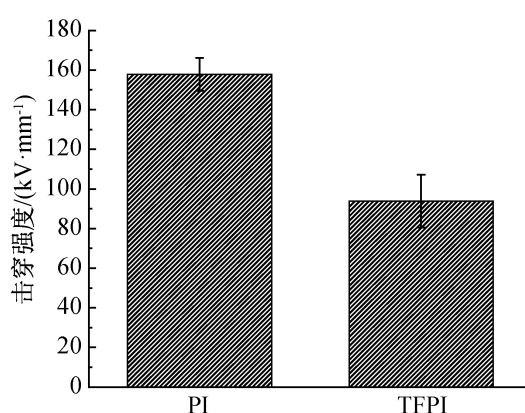
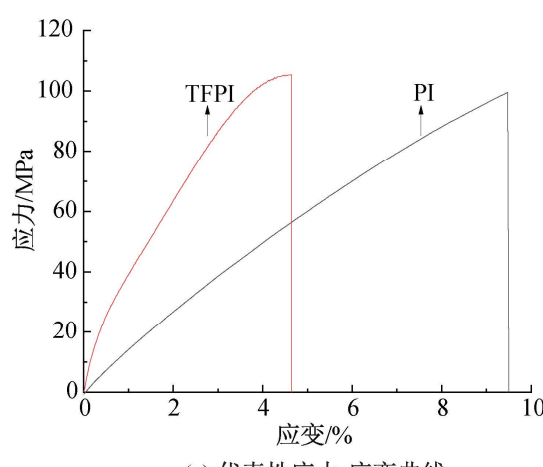


图4 PI膜与TFPI复合膜击穿强度



(a) 代表性应力-应变曲线

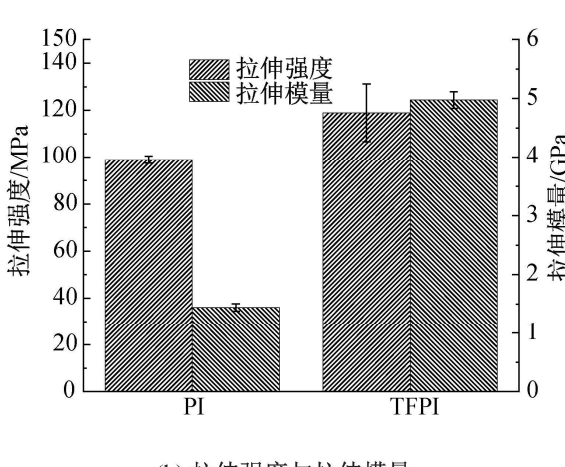


图5 PI膜与TFPI复合膜的拉伸强度与拉伸模量

## 2.6 TFPI 复合膜的热稳定性能分析

图6是在N<sub>2</sub>氛围下进行的PI膜、PTFE纤维和TFPI复合膜的TGA曲线。为了便于分析,将PI膜、PTFE纤维和TFPI复合膜的热重分析数据对比列入表1中。结合图6和表1,可以看出,PI膜和PTFE纤维的起始分解温度( $T_{d0\%}$ )均高于450℃,PTFE纤维在600℃几乎完全分解,PI膜在失重5%的热分解温度( $T_{d5\%}$ )和10%的热分解温度( $T_{d10\%}$ )分别是500℃和522℃,PI膜在800℃时失重不到50%,原因是芳香杂环结构使PI具有优异的热稳定性。PTFE纤维的 $T_{d5\%}$ 和 $T_{d10\%}$ 分别是532℃和539℃,TFPI复合膜的 $T_{d5\%}$ 和 $T_{d10\%}$ 分别是534℃和543℃,较PTFE纤维略有升高,这主要是由于PTFE纤维的热稳定性略高于PI膜,这使得复合膜在高温下更加稳定;此外,当PI作为外层的膜时,在PTFE纤维外层形成一层屏障,阻止了PTFE纤维的热分解,从而使得TFPI复合膜的分解温度高于单个材料的分解温度。在600℃后,TFPI复合膜不再分解,其原因是N<sub>2</sub>氛围下的TGA测试提供了非氧气环境,并且由于其长链聚合物结构和含氮杂原子的存在,使其在高温下更加稳定,这些特性使得它在N<sub>2</sub>气氛下更难分解。对于TFPI复合膜, $T_{d5\%}$ 和 $T_{d10\%}$ 热失重温度高于520℃,体现出良好的热稳定性。

表1 PI膜、PTFE纤维和TFPI复合膜的热性能参数

试样	$T_{d0\%}$ /℃	$T_{d5\%}$ /℃	$T_{d10\%}$ /℃
PI膜	452	500	522
PTFE纤维	506	532	539
TFPI复合膜	507	534	543

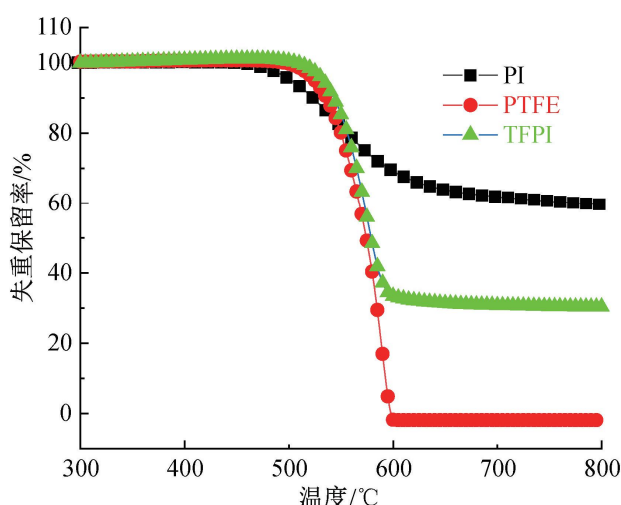


图6 PI膜、PTFE纤维和TFPI复合膜的热失重曲线

## 3 结论

本文利用PTFE纤维的低介电常数和低介电

损耗的特性以及纤维加捻引入空气后的特点,以PAA溶液为前驱体,以双捻PTFE纤维作为芯层,制备了PI/PTFE纤维/PI三明治结构的复合膜(TFPI复合膜),研究了TFPI复合膜的介电性能、力学性能和热稳定性,所得主要结论如下:

a)经溶液浇注法制备的TFPI复合膜保留了PTFE纤维的化学结构和高结晶度,加捻PTFE纤维接触间隙在固化后有空隙存在;

b)双捻PTFE纤维质量含量为50%的TFPI复合膜,在8.2~12.4 GHz频段,其 $D_k$ 为1.49~1.56, $D_f$ 为0.00006~0.011,在10 GHz时,其 $D_k$ 为1.51, $D_f$ 为0.001。击穿强度为93.8 kV/mm,显示复合膜在高频下具有超低的介电常数和介电损耗;TFPI复合膜的拉伸强度达到118.9 MPa,断裂伸长率相较于PI膜降低,拉伸模量升高;TFPI复合膜在 $T_{d5\%}$ 和 $T_{d10\%}$ 热失重温度均高于530℃,体现出良好的热稳定性。

本文以加捻PTFE纤维为芯层制备PTFE纤维/PI三明治结构复合膜,以较低的成本和简单的实验方法解决了PI在高频率介电常数和介电损耗偏高的问题,为研发高频电场下具有低介电性能的PI提供了新的方法和实验参考。

## 参考文献:

- [1] Constantinou I, Yi X P, Shewmon N T, et al. Effect of polymer-fullerene interaction on the dielectric properties of the blend[J]. Advanced Energy Materials, 2017, 7(13): 1601947.
- [2] Wang L, Yang J, Cheng W H, et al. Progress on polymer composites with low dielectric constant and low dielectric loss for high-frequency signal transmission[J]. Frontiers in Materials, 2021, 8: 434.
- [3] 贺娟,陈文求,陈伟,等.低介电常数聚酰亚胺薄膜材料的研究进展[J].绝缘材料,2023,56(9): 1-6.
- [4] Ni H J, Liu J G, Wang Z H, et al. A review on colorless and optically transparent polyimide films: Chemistry, process and engineering applications [J]. Journal of Industrial and Engineering Chemistry, 2015, 28: 16-27.
- [5] Li T, Sun Y, Dai H Y, et al. Characterization of intrinsic low-polyimide films studied by positron annihilation[J]. Materials Science and Engineering: B, 2022, 278: 115652.
- [6] Li Y H, Sun G H, Zhou Y, et al. Progress in low dielectric polyimide film: A review[J]. Progress in Organic Coatings, 2022, 172: 107103.
- [7] Tafreshi O A, Ghaffari-Mosanenzadeh S, Karamikamkar S, et al. Novel, flexible, and transparent thin film polyimide aerogels with enhanced thermal insulation and high service temperature [J]. Journal of Materials Chemistry C, 2022, 10(13): 5088-5108.

- [8] Hu J H, Chen C, Yang F, et al. High performance polyimides containing bio-molecule adenine building block from DNA[J]. Polymer, 2018, 146: 407-419.
- [9] Liaw D J, Wang K L, Huang Y C, et al. Advanced polyimide materials: Syntheses, physical properties and applications[J]. Progress in Polymer Science, 2012, 37(7): 907-974.
- [10] Kourakata Y, Onodera T, Kasai H, et al. Ultra-low dielectric properties of porous polyimide thin films fabricated by using the two kinds of templates with different particle sizes[J]. Polymer, 2021, 212: 123115.
- [11] Wu X L, Cai J, Cheng Y R. Synthesis and characterization of high fluorine-containing polyimides with low-dielectric constant [J]. Journal of Applied Polymer Science, 2022, 139 (16): e51972.
- [12] Zuo H T, Gan F, Dong J, et al. Highly transparent and colorless polyimide film with low dielectric constant by introducing meta-substituted structure and trifluoromethyl groups[J]. Chinese Journal of Polymer Science, 2021, 39(4): 455-464.
- [13] 贝润鑫, 陈文欣, 张艺, 等. 低介电常数聚酰亚胺薄膜的研究进展[J]. 绝缘材料, 2016, 49(8): 1-11.
- [14] 李明慧, 代梦露, 刘凤萍, 等. 低介电常数聚酰亚胺研究进展: 结构与性能的关系[J]. 高分子通报, 2023, 36 (8): 1042-1075.
- [15] Zhong M, Wu X M, Shu C, et al. Organosoluble polyimides with low dielectric constant prepared from an asymmetric diamine containing bulky m-trifluoromethyl phenyl group[J]. Reactive and Functional Polymers, 2021, 169: 105065.
- [16] He Z A, Xie J W, Liao Z W, et al. Hierarchical porous structure contained composite polyimide film with enhanced dielectric and water resistance properties for dielectric material [J]. Progress in Organic Coatings, 2021, 151: 106030.
- [17] Li T, Sun Y, Dai H Y, et al. Preparation and characterization of low- $\kappa$  polyhedral oligomeric silsesquioxane/polyimide hybrid films [J]. Materials Chemistry and Physics, 2022, 278: 125716.
- [18] Chen Z G, Zhang Y, Zhao J Q, et al. Imparting low dielectric constant and high toughness to polyimide via physical blending with trifluoropropyl polyhedral oligomeric silsesquioxane[J]. Polymer Engineering & Science, 2022, 62(9): 2809-2816.
- [19] Luo J P, Tong H, Mo S, et al. Integrated exploration of experimentation and molecular simulation in ester-containing polyimide dielectrics[J]. RSC Advances, 2023, 13(2): 963-972.
- [20] 高春, 崔建广, 邹明辉. 超低介电常数氟化聚酰亚胺合成与性能[J]. 工程塑料应用, 2022, 50(1): 28-32.
- [21] 王金昌, 陈文兴, 吕汪洋, 等. 含氟聚酰亚胺纺丝溶液的流变性研究[J]. 浙江理工大学学报, 2011, 28(4): 501-504.
- [22] Wei H R, He W H, Li Q Z, et al. Glass fiber/polytetrafluoroethylene composite with low dielectric constant and thermal stability for high-frequency application [J]. Ceramics International, 2023, 49(17): 28449-28456.
- [23] Zhang Y, Liu Z Y, Zhang X L, et al. Sandwich-layered dielectric film with intrinsically excellent adhesion, low dielectric constant, and ultralow dielectric loss for a high-frequency flexible printed circuit[J]. Industrial & Engineering Chemistry Research, 2021, 60(31): 11749-11759.
- [24] Li R K, Liu Z Y, Chen R, et al. In-situ fabrication of polyimide microphase and its effects on the mechanical and dielectric properties of polytetrafluoroethylene composite films [J]. Composites Part A: Applied Science and Manufacturing, 2023, 166: 107381.
- [25] Zhang W, Jiang H Z, Nie Y, et al. Composite films with low dielectric constant and dielectric loss factor at high frequency prepared from polyimide and polytetrafluoroethylene [J]. Polymer Engineering & Science, 2022, 62(12): 4226-4234.
- [26] Xu X L, Yang T, Yu Y, et al. Aqueous solution blending route for preparing low dielectric constant films of polyimide hybridized with polytetrafluoroethylene[J]. Journal of Materials Science: Materials in Electronics, 2017, 28(17): 12683-12689.
- [27] Sato K, Tominaga Y, Imai Y, et al. Deformation capability of poly(tetrafluoroethylene) materials: Estimation with X-ray diffraction measurements[J]. Polymer Testing, 2022, 113: 107690.
- [28] Calleja G, Jourdan A, Ameduri B, et al. Where is the glass transition temperature of poly(tetrafluoroethylene)? A new approach by dynamic rheometry and mechanical tests[J]. European Polymer Journal, 2013, 49(8): 2214-2222.
- [29] Zhang C G, He X J, Lu Q H. Polyimide films with ultralow dielectric loss for 5G applications: Influence and mechanism of ester groups in molecular chains [J]. European Polymer Journal, 2023, 200: 112544.
- [30] Qiang D Y, Wang Y, Alhabill F N, et al. Study on quantification method for dispersion and distribution of sphere-like particles and relationship with AC/DC breakdown strength in polymer nanocomposites [J]. IEEE Transactions on Dielectrics and Electrical Insulation, 2020, 27(2): 343-351.
- [31] Yu G, Cheng Y J. Effects of inorganic ZnO particle doping on crystalline polymer morphology and space charge behavior[J]. Coatings, 2020, 10(10): 932.
- [32] Li H J, Kong X Y, Wang S X, et al. Sustainable dielectric films with ultralow permittivity from soluble fluorinated polyimide[J]. Molecules, 2023, 28(7): 3095.

(责任编辑:刘国金)